



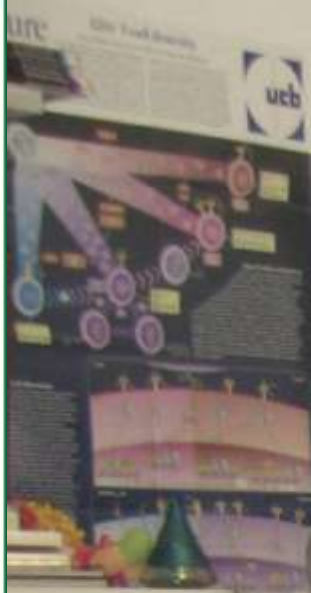
Indicaciones de técnicas complementarias en el diagnóstico y pronóstico de la patología cervical: **lesiones escamosas**



Dr. Jaume Ordi
Servicio de Anatomía Patológica
Hospital Clínic. Barcelona









Prevención del cáncer cervical

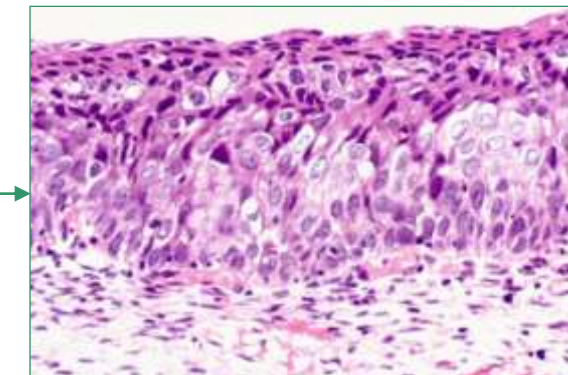
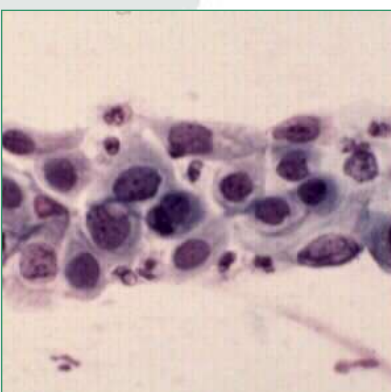
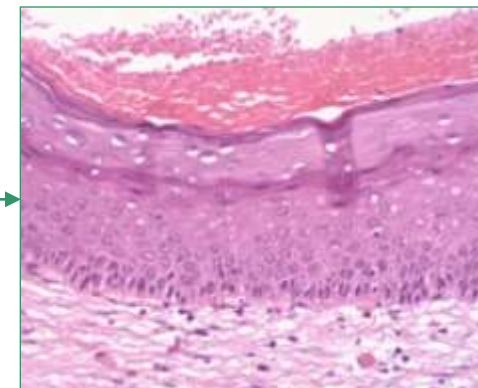
Cribado



Extensión de la lesión
Selección del sitio de bx



Diagnóstico





Biopsia cervical: limitaciones

- Importante variación inter e intra- observador en el diagnóstico de CIN2-3
- No permite identificar aquellas lesiones de bajo grado con riesgo de progresión



Concordancia diagnóstica

Author	Year	Interobserver	Intraobserver kappa
		kappa (weighted)	(weighted)
Cocker et al.	1968	0.26-0.30	0.82
Ringsted et al.	1978	0.81	0.82
Bellina et al.	1982	0.24-0.71	0.66
Ismail et al.	1989	0.78	
De Vet et al.	1995	0.71	
McCluggage et al.	1996		0.20-0.54

0.21-0.40 Fair

0.41-0.60 Moderate

0.61-0.80 Substantial

0.81-1.0 Almost perfect

Revised in Malpica A, et al.
Gynecol Oncol, 2005; 99: S38



Concordancia diagnóstica

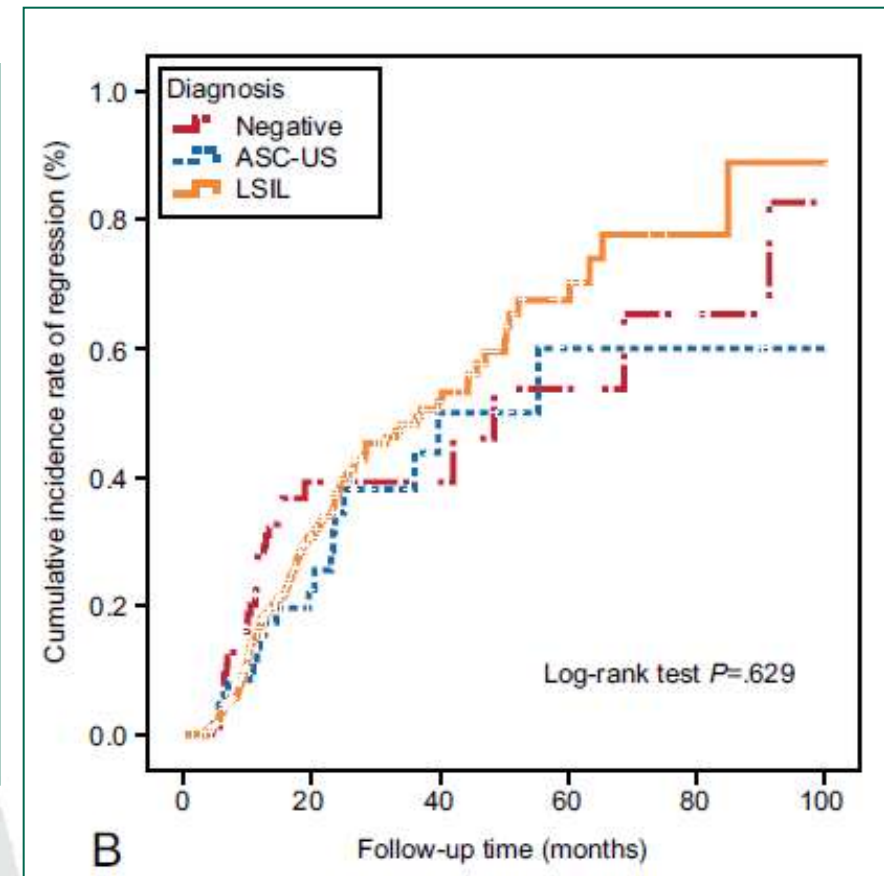
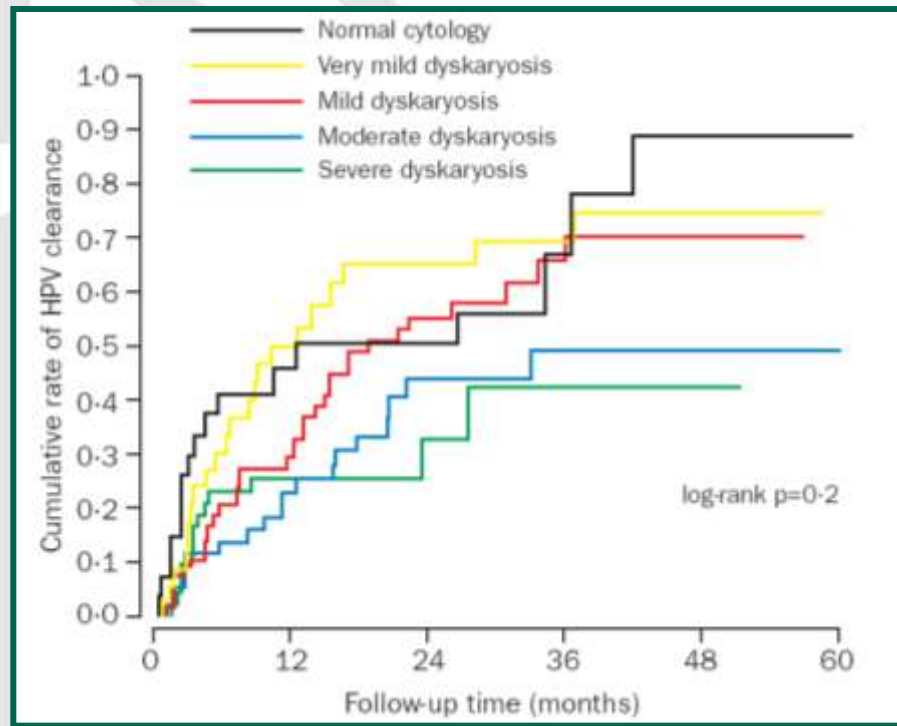
	Normal	NDL	CIN 1	CIN 2	CIN 3	CxCa.	Totals	Concordance
Normal	738 (71%)	108 (10%)	115 (11%)	28 (3%)	37 (4%)	10 (1%)	1036	738 (71%)
NDL	108 (68%)	4 (3%)	19 (12%)	6 (4%)	13 (8%)	6 (4%)	156	4 (3%)
CIN 1	115 (27%)	19 (4%)	222 (52%)	34 (8%)	30 (7%)	4 (1%)	424	222 (52%)
CIN 2	28 (8%)	6 (2%)	34 (10%)	122 (35%)	147 (42%)	11 (3%)	348	122 (35%)
CIN 3	37 (4%)	13 (1%)	30 (3%)	147 (16%)	652 (72%)	25 (4%)	904	652 (72%)
CxCa.	10 (1%)	6 (1%)	4 (1%)	11 (2%)	25 (3%)	876 (94%)	932	876 (94%)

Klaes et al, *Am J Surg Pathol*
2002 26:1389

	Community Diagnosis					
	Neg	CIN1	CIN2	CIN3/ AIS	Cancer	Total
Consensus biopsy diagnosis						
Neg						
n	653	88	6	1	0	748
% col	86.5%	19.5%	4.1%	1.1%	0.0%	
CIN1						
n	90	279	23	2	0	394
% col	11.9%	61.9%	15.6%	2.2%	0.0%	
CIN2						
n	10	77	70	20	0	177
% col	1.3%	17.1%	47.6%	21.7%	0.0%	
CIN3/AIS						
n	2	7	48	69	1	127
% col	0.3%	1.6%	32.7%	75.0%	16.7%	
Cancer						
n	0	0	0	0	5	
% col	0.0%	0.0%	0.0%	0.0%	83.3%	
Total	755	451	147	92	6	1451

Galgano MT, et al, *Am J Surg Pathol* 2010 34:1077

Progression and regression



Nobbenhuis et al. *Lancet* 2001;
358: 1782–83

Del Pino et al. *Obstet Gynecol*,
2010; 116: 1324–1331



¿Cómo reducir la variabilidad inter e intraobservador?





Condiciones buen biomarcador

- Elevada sensibilidad para CIN2+ y/o CIN3+
- Alta especificidad
- Evaluación fácil y reproducible



Marcadores IHQ-ISH

- p16^{INK4a}
- Ki67 (MIB1)
- HPV L1
- nm 23
- Hibridación *in situ* para VPH
- TOP2A
- MCM2
- ProEx C (TOP2A+MCM2)



p16^{INK4a} in uterine cervix

Study	Positive p16 staining	
	CIN2+	Negative biopsies
Klaes (<i>Am J Surg Pathol</i> 2002)	100%	12%
Hariri (<i>Int J Gynecol Pathol</i> 2007)	100%	6%
Benevolo (<i>Histopathology</i> 2010)	96%	19%
Ordi (<i>Int J Gynecol Pathol</i> 2009)	99%	0%
Galgano (<i>Am J Surg Pathol</i> 2010)	87%	5%



p16^{INK4a} in CIN3+

Study	Sensitivity	Specificity
Klaes (<i>Am J Surg Pathol</i> 2002)	100%	62%
Wang (<i>Cancer Epidemiol Prev</i> 2004)	100%	95%
Galgano (<i>Am J Surg Pathol</i> 2010)	99%	74%
Guo (<i>Am J Clin Pathol</i> 2011)	90%	71%



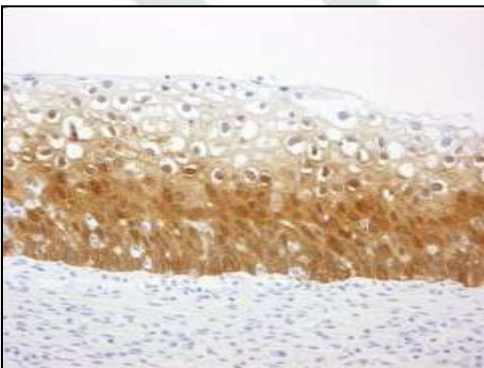
p16^{INK4a} in CIN2+

Study	Sensitivity	Specificity
Klaes (<i>Am J Surg Pathol</i> 2002)	100%	71%
Wang (<i>Cancer Epidemiol Prev</i> 2004)	81%	95%
Hariri (<i>Int J Gynecol Pathol</i> 2007)	100%	72%
Kong (<i>Am J Surg Pathol</i> 2007)	82%	100%
Ordi (<i>Int J Gynecol Pathol</i> 2009)	99%	89%
Benevolo (<i>Histopathology</i> 2010)	96%	66%
Galgano (<i>Am J Surg Pathol</i> 2010)	87%	83%
Guo (<i>Am J Clin Pathol</i> 2011)	79%	85%



p16^{INK4a} Immunostaining

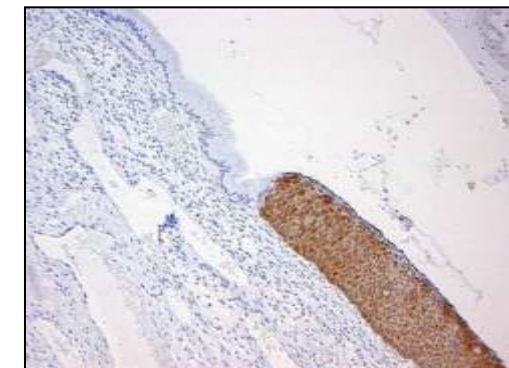
- Diffuse Staining patterns (Positive result)



CIN 1

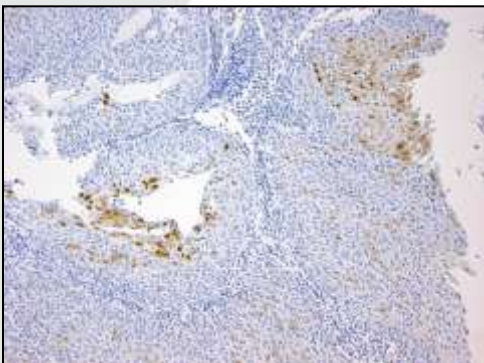


CIN 2

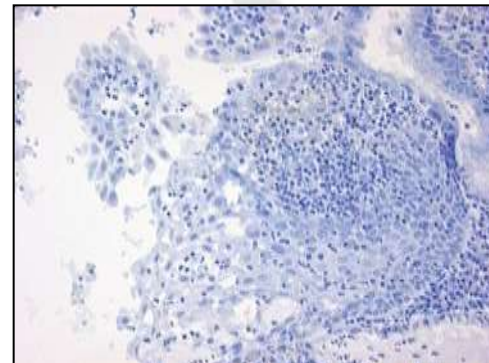


CIN 3

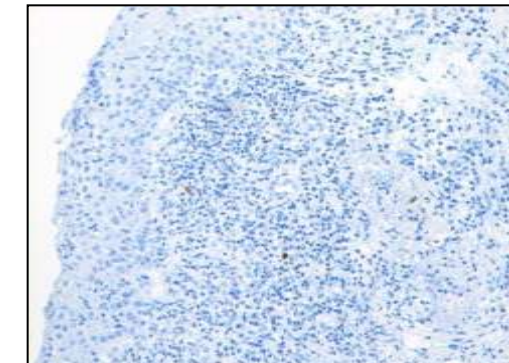
- Focal/Negative Staining patterns (Negative result)



Mature metaplasia



Immature metaplasia



Cervicitis



CINtec® Study; Design (I)

- Gold standard diagnosis
 - 3 Expert gynecopathologists, independently reading all 500 H&E slides
 - Any discrepant result subjected to adjudication meeting
 - **Consensus diagnosis on H&E slides** only during adjudication meeting as the final **Gold Standard Diagnoses**

Bergeron C, Ordi J, et al. *Am J Clin Pathol* 2010; 133:395



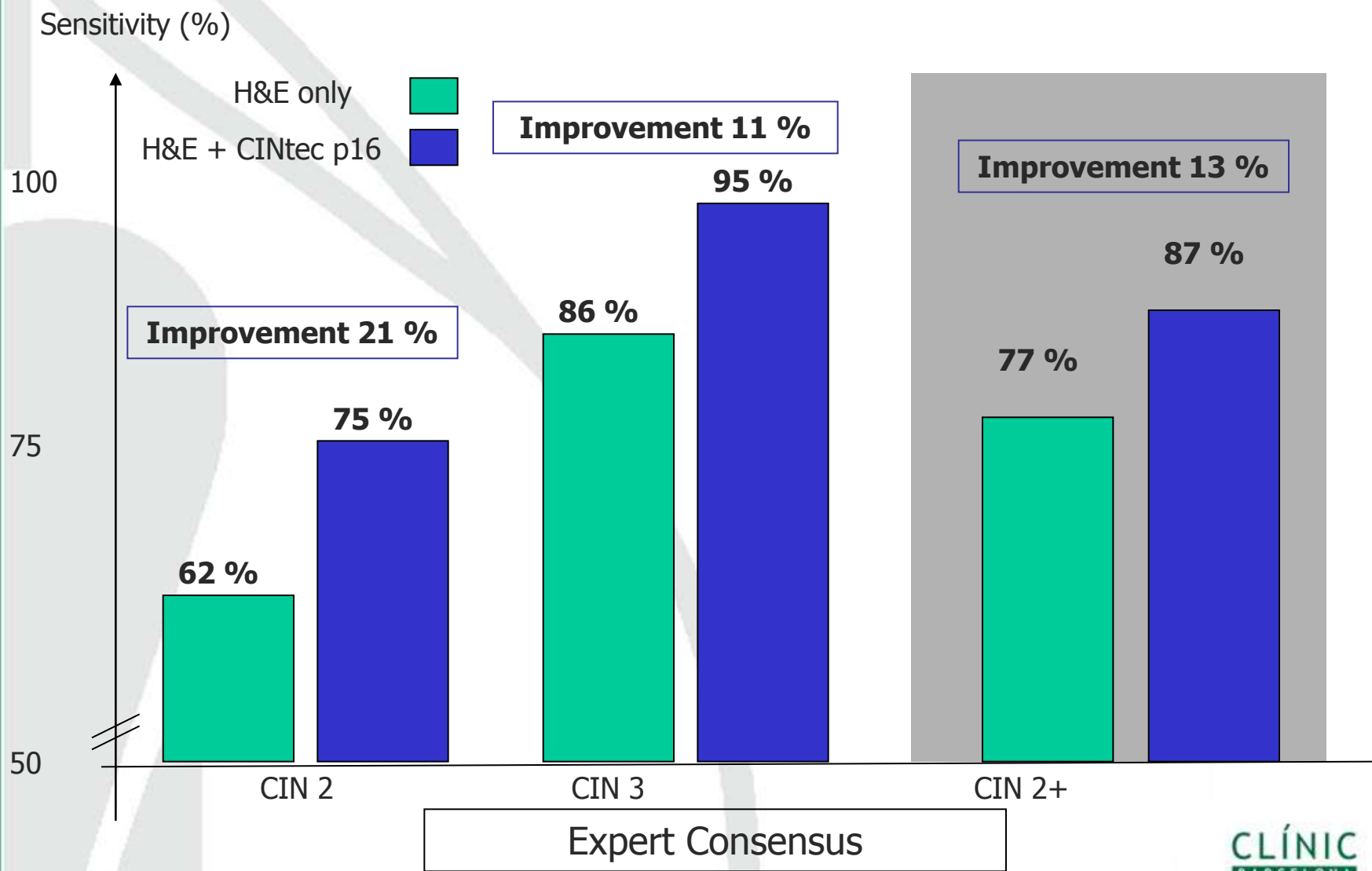
CINtec® Study; Design (II)

- Study Panel Diagnoses (12 general pathologists)
 - Diagnosis of all 500 HE slides
 - Washout period of \geq 4 weeks
 - New diagnosis on the same set of 500 HE slides, conjunctively with the matched p16 stained slides
 - Panel pathologists blinded to case numbers, original diagnoses, and Gold standard diagnoses

Bergeron C, Ordi J, et al. *Am J Clin Pathol* 2010; 133:395



p16^{INK4a}: Gain in Sensitivity





Inter-Observer Agreement

Diagnostic Category	Kappa H&E	Kappa H&E plus CINtec® Histology	Statistical significance
CIN2+, all cases	0,580	0,756	p<0,0001
CIN2+, punch biopsies only	0,598	0,748	p<0,0001
CIN2+, conization biopsies only	0,548	0,765	p<0,0001

Bergeron C, Ordi J, et al. *Am J Clin Pathol* 2010; 133:395



Reproducibility of Rating CINtec®

- Kappa analysis for reproducibility of rating the CINtec® Histology immunostaining pattern as either negative or positive
 - Mean Kappa value of 0,899 (Median 0,903)

Bergeron C, Ordi J, et al. *Am J Clin Pathol* 2010; 133:395



CINtec® Study; Conclusions

- The conjunctive use of p16^{INK4a} in cervical tissue slides leads to a
 - Statistically significant Increase in diagnostic accuracy for diagnosing CIN2+
 - Overall increase of 13% in sensitivity for CIN2+
 - Overall 45% reduction of false negative cases
 - Statistically significant Increase in inter-observer agreement for diagnosing CIN2+

Bergeron C, Ordi J, et al. *Am J Clin Pathol* 2010; 133:395



HPV-p16 en lesiones ocultas

- Identificación de pacientes con estudio simultáneo
 - Biopsia
 - Detección de VPH (HC2)
- 1253 mujeres (1999-2005)

Ordi J, et al. *Int J Gynecol Pathol* 2009; 28:90-97



HPV-p16 en lesiones ocultas

- **Grupo problema:** 139 mujeres
 - Biopsia negativa y VPH simultáneo +
- **Grupos control (50 en cada grupo)**
 - Grupo D: Biopsia negativa y VPH – (496)
 - Grupo E: CIN 1 y VPH+ (248)
 - Grupo F: CIN2-3 y VPH+ (277)

Ordi J, et al. *Int J Gynecol Pathol* 2009; 28:90-97

Biopsia cervical - p16^{INK4a}

Biopsy final evaluation

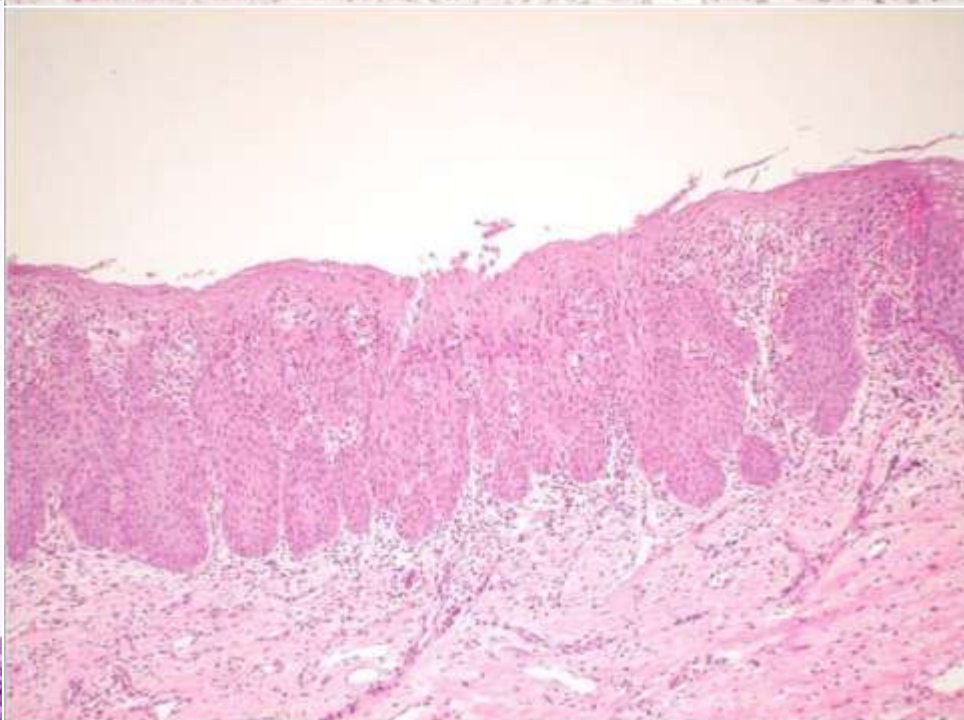
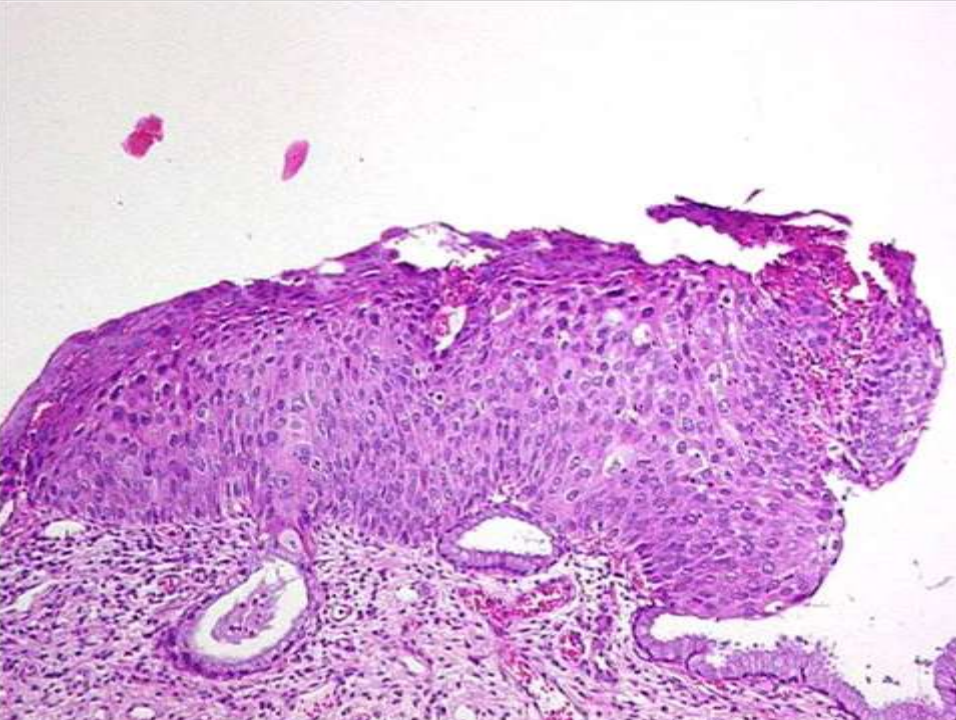
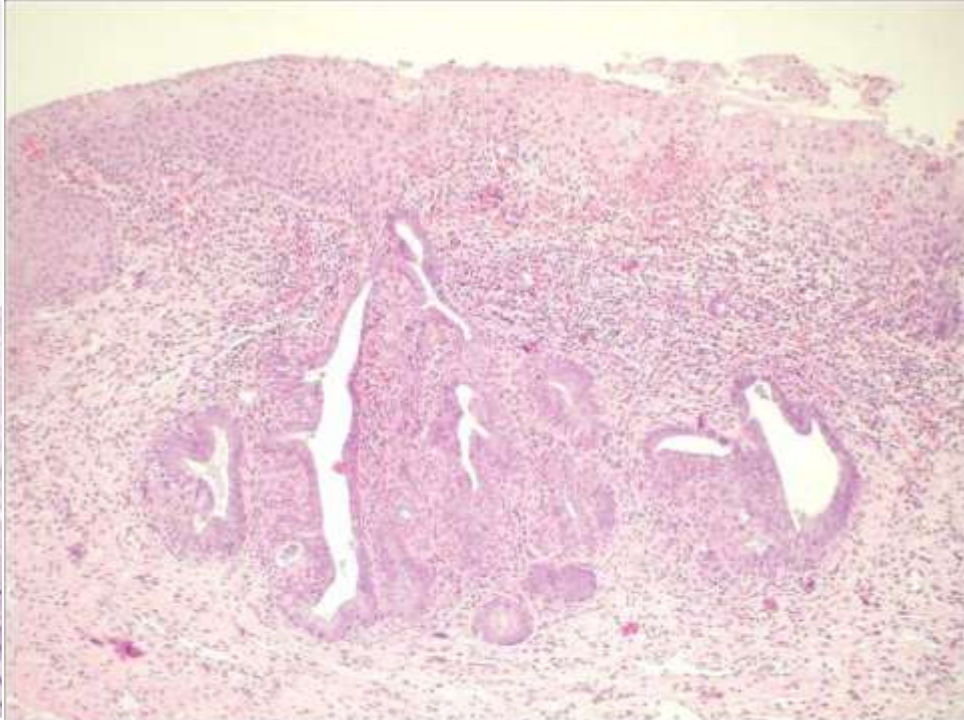
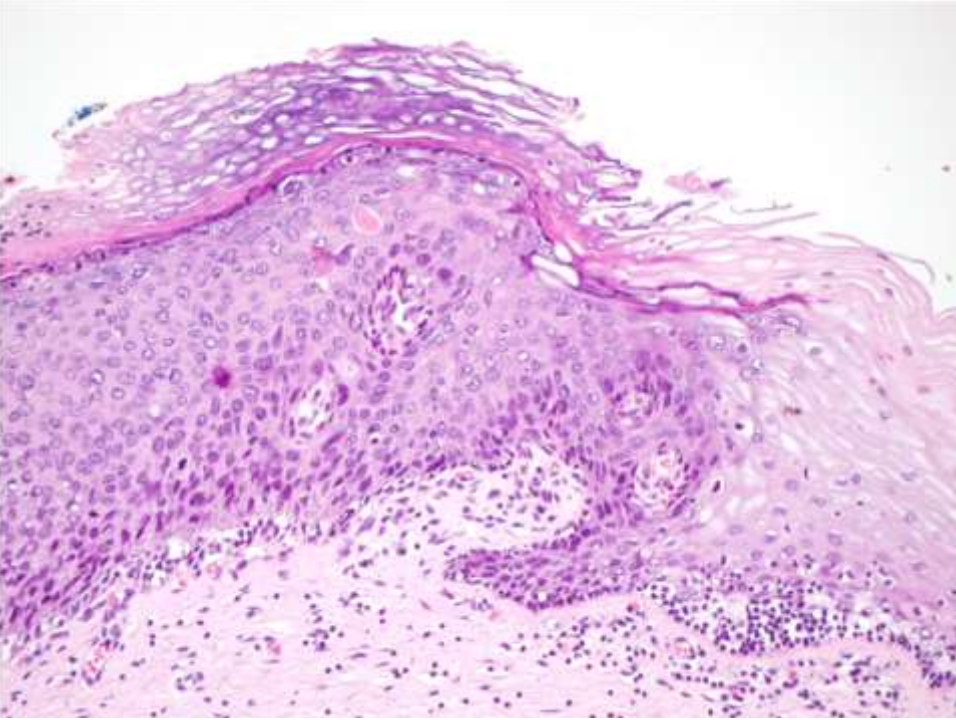
P16 ^{INK4a}	n	No lesion (n=107)	CIN 1 (n=13)	CIN 2/3 (n=19)	P value
Negative	105	103 (98%)	2 (2%)	0 (0%)	<0.001
Focal	10	4 (40%)	6 (60%)	0 (0%)	<0.001
Diffuse	24	0 (0%)	5 (21%)	19 (79 %)	<0.001

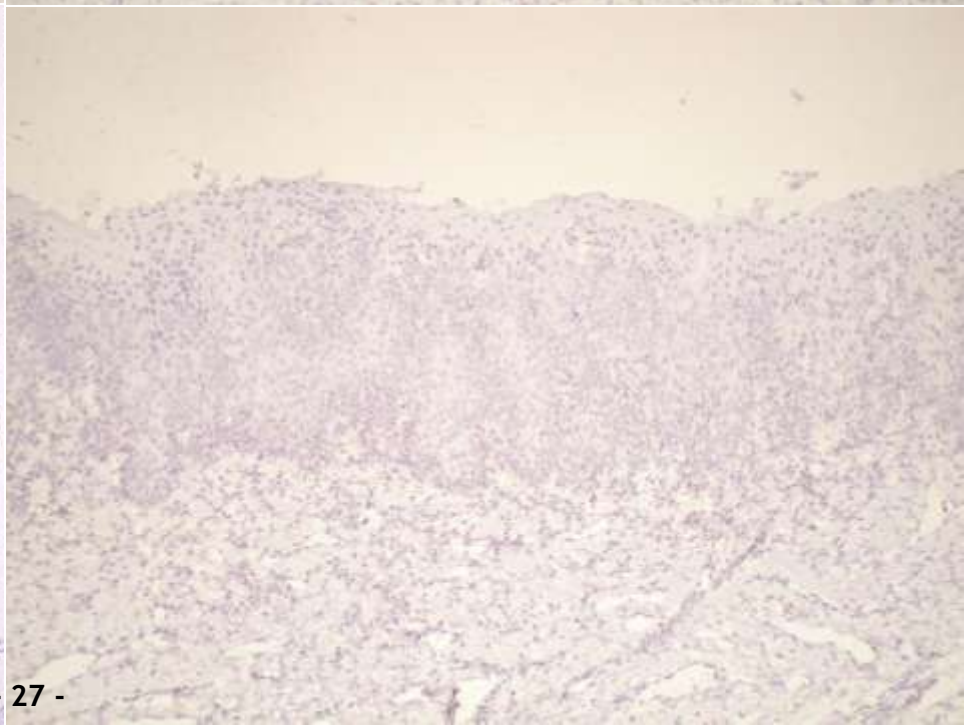
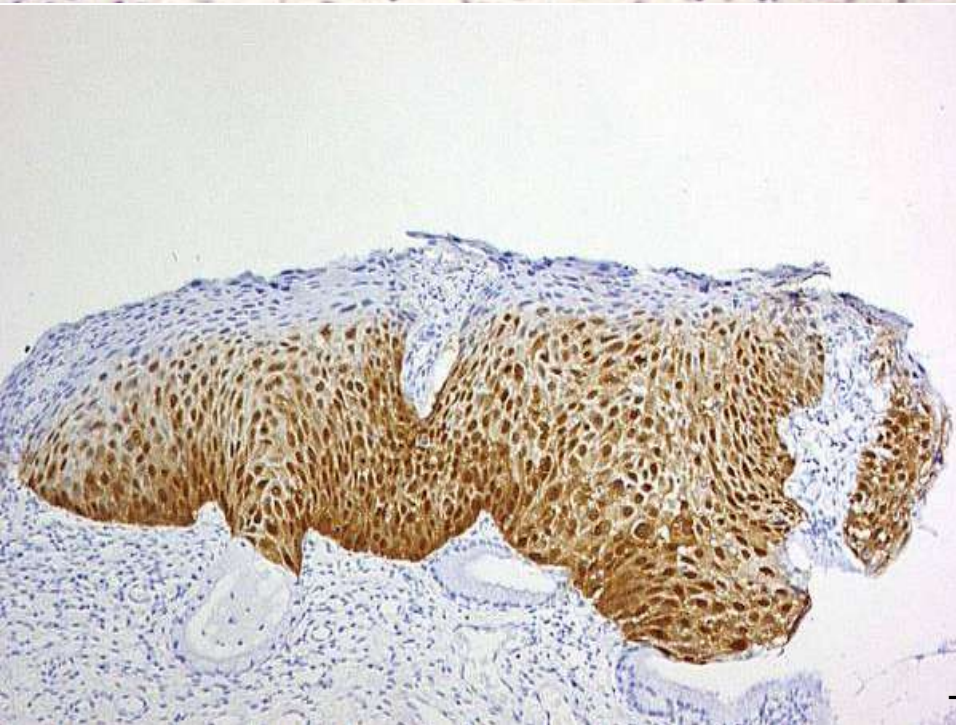
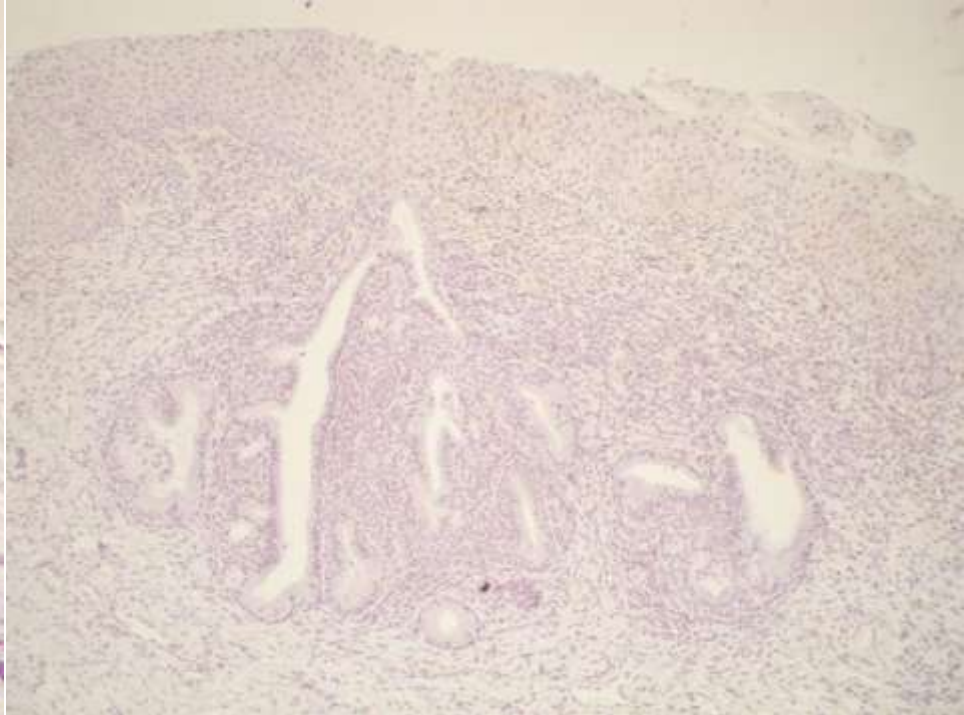
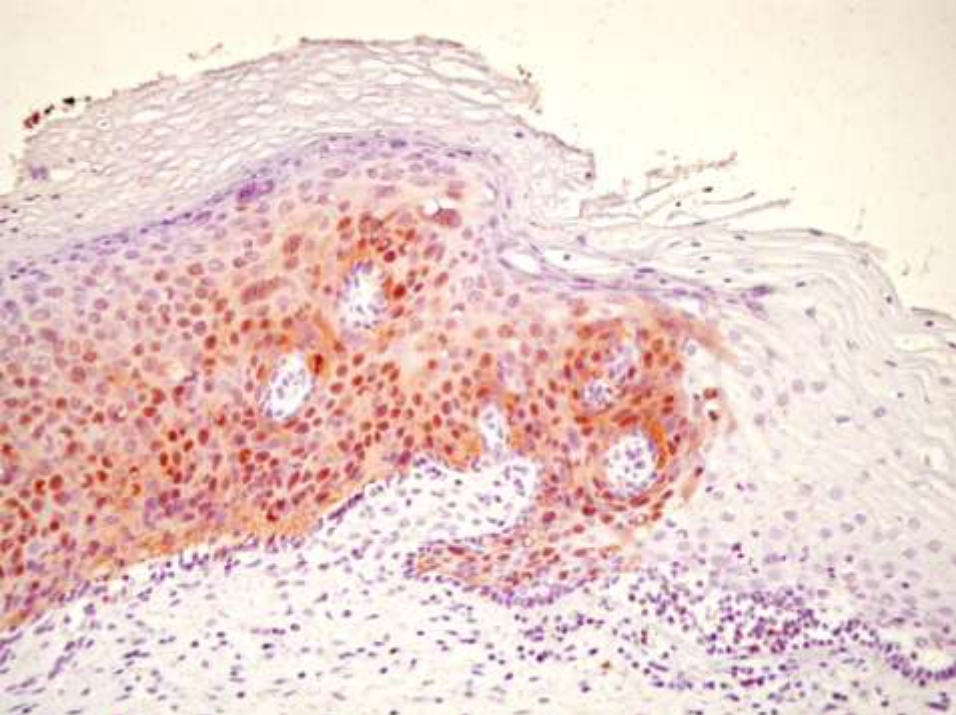


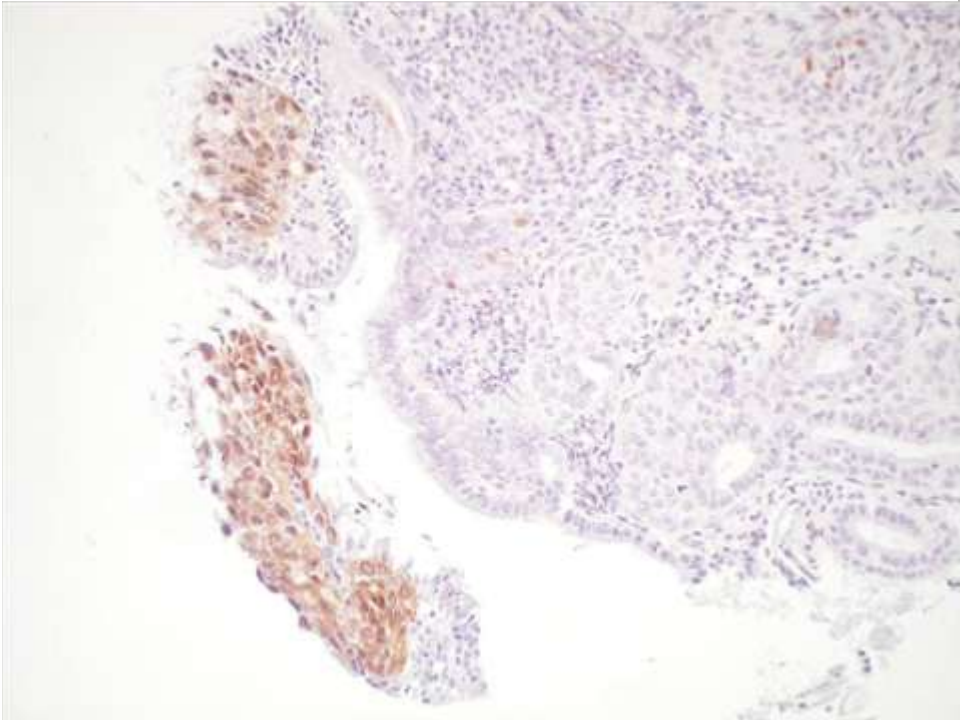
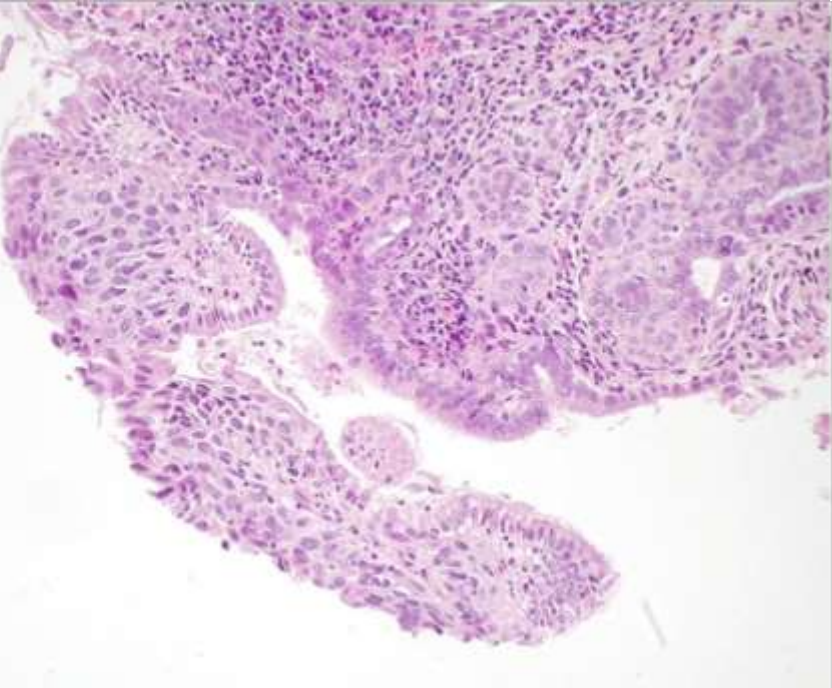
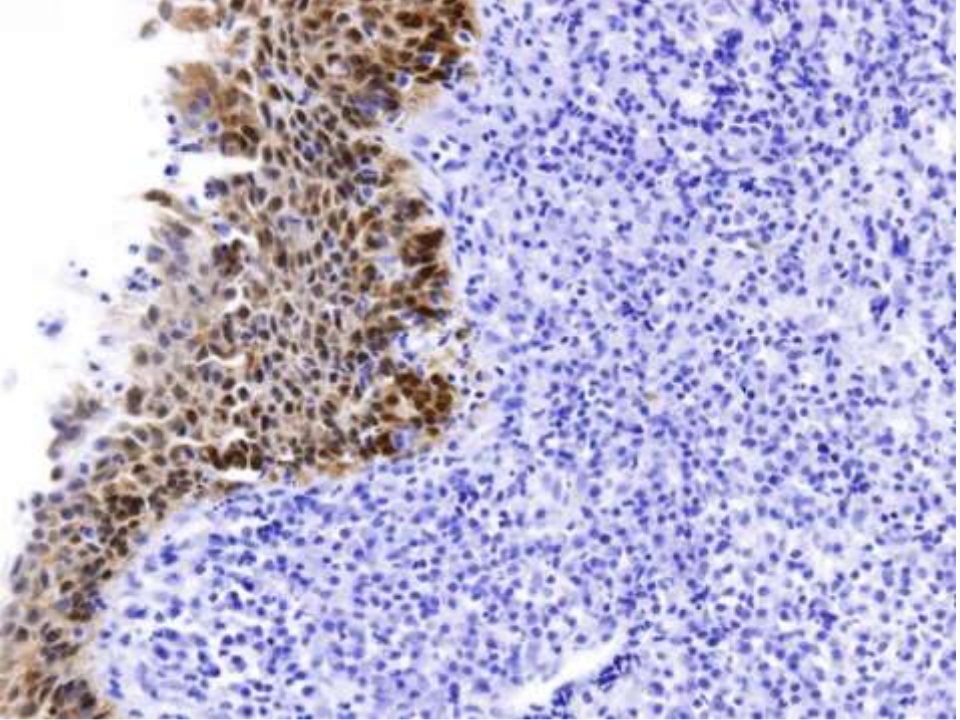
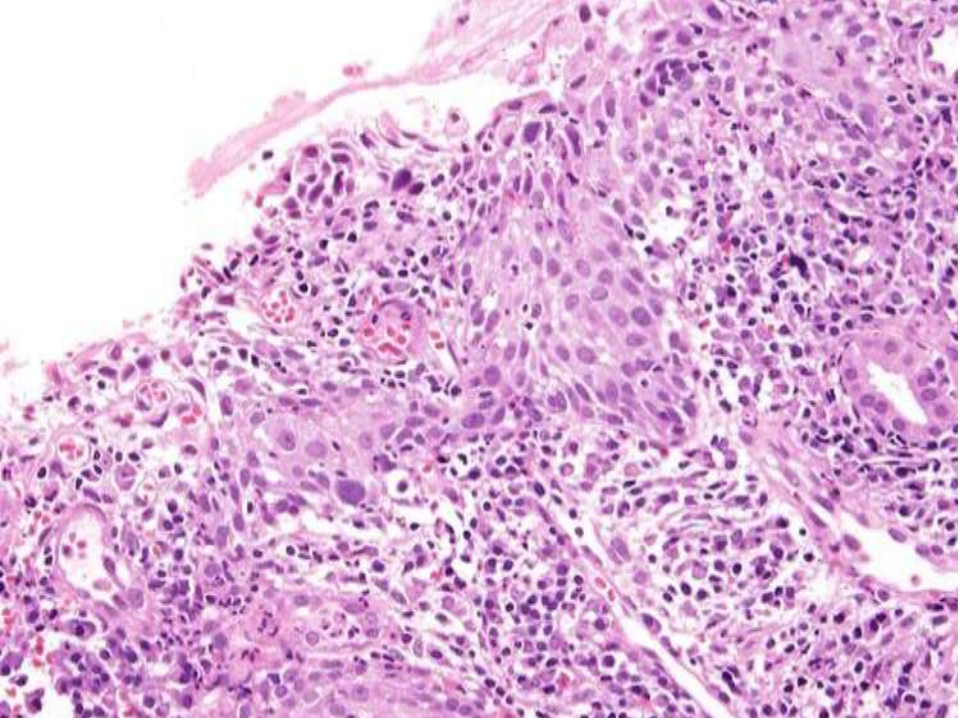
Lesión cervical - p16^{INK4a}

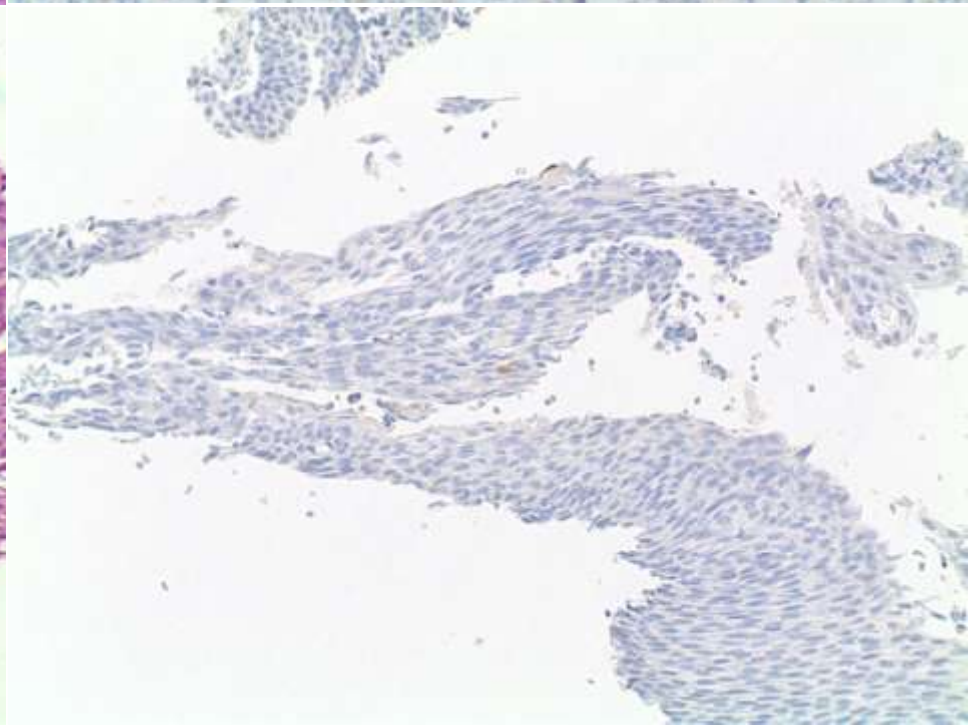
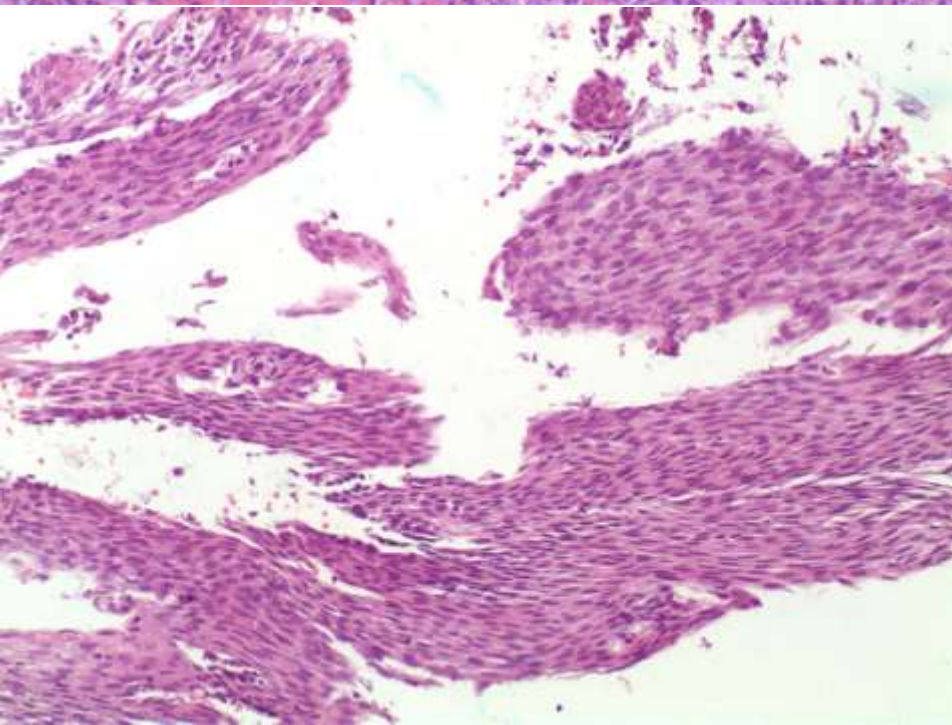
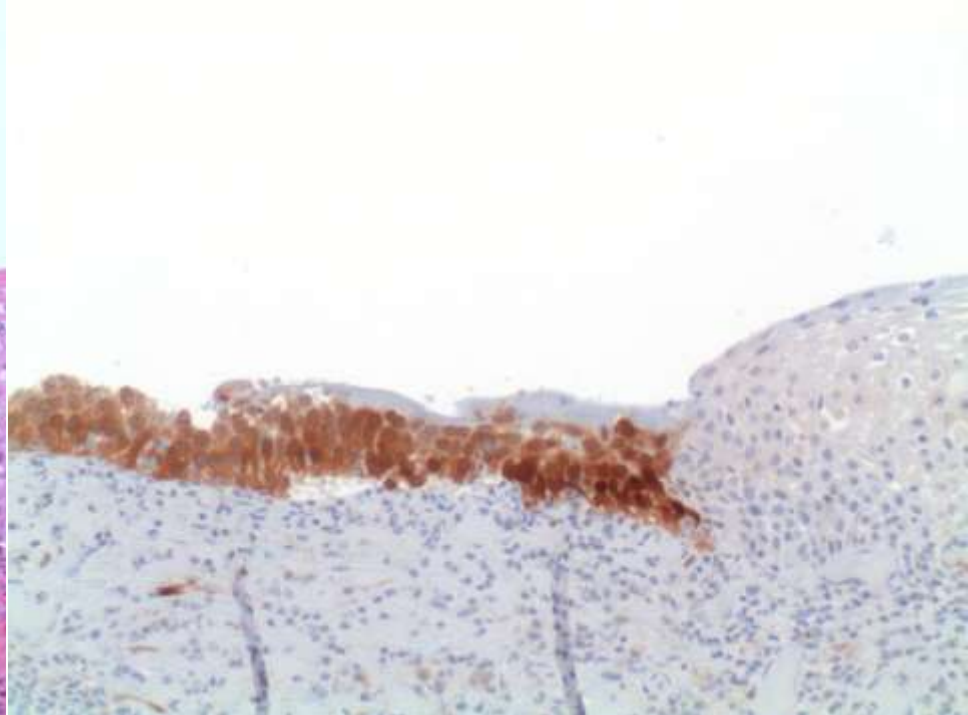
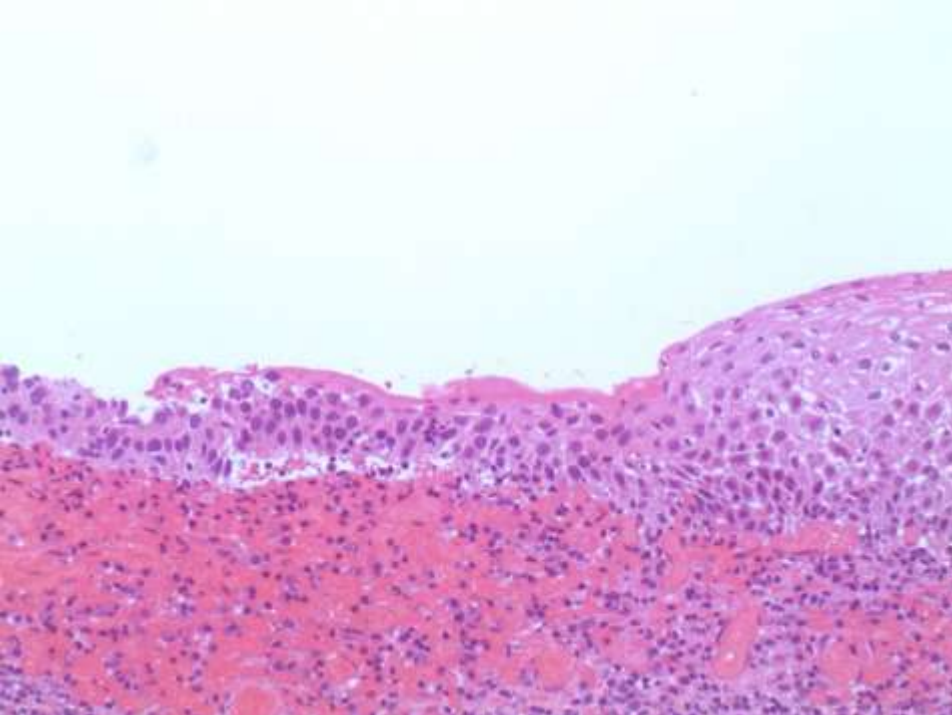
		P16 ^{INK4a} (%)		
Biopsy final evaluation	N (326)	Negative (n=182)	Focal (n=38)	Diffuse (n=106)
No lesion	161	153 (95%)	8 (5%)	0 (0%)
CIN 1	85	29 (34%)	29 (34%)	27 (32%)
CIN 2/3	80	0 (0%)	1 (1%)	79 (99 %)

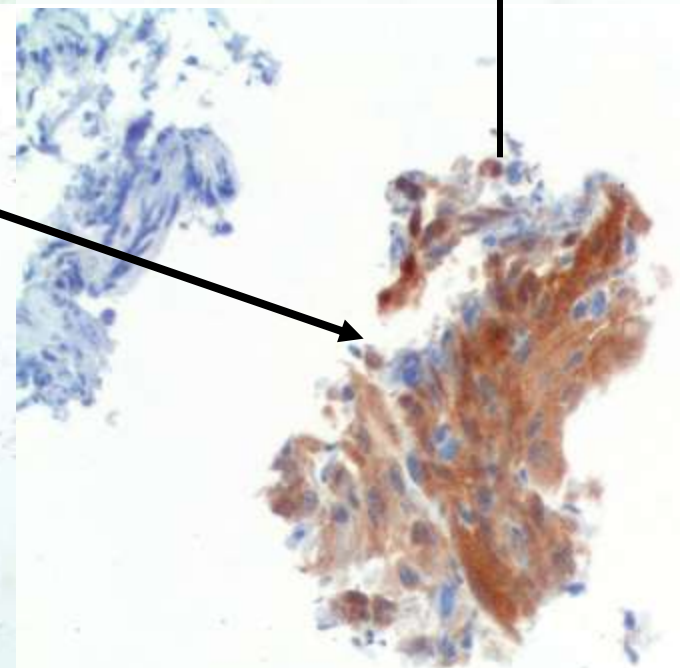
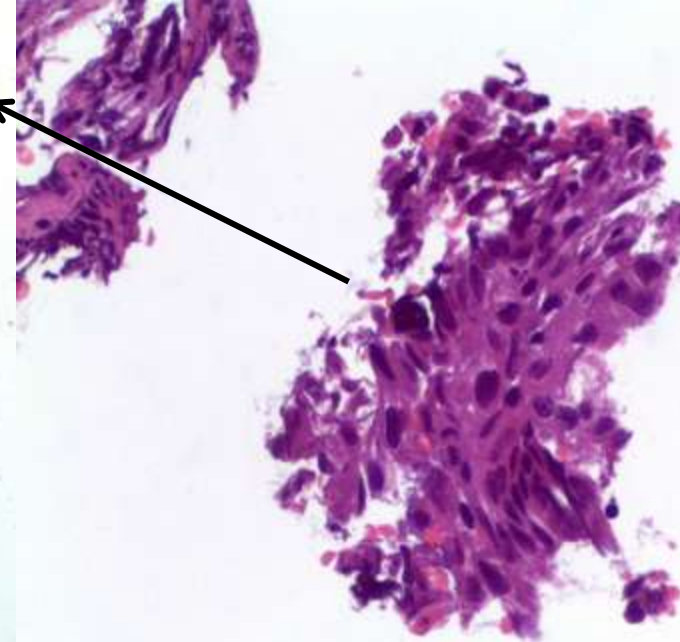
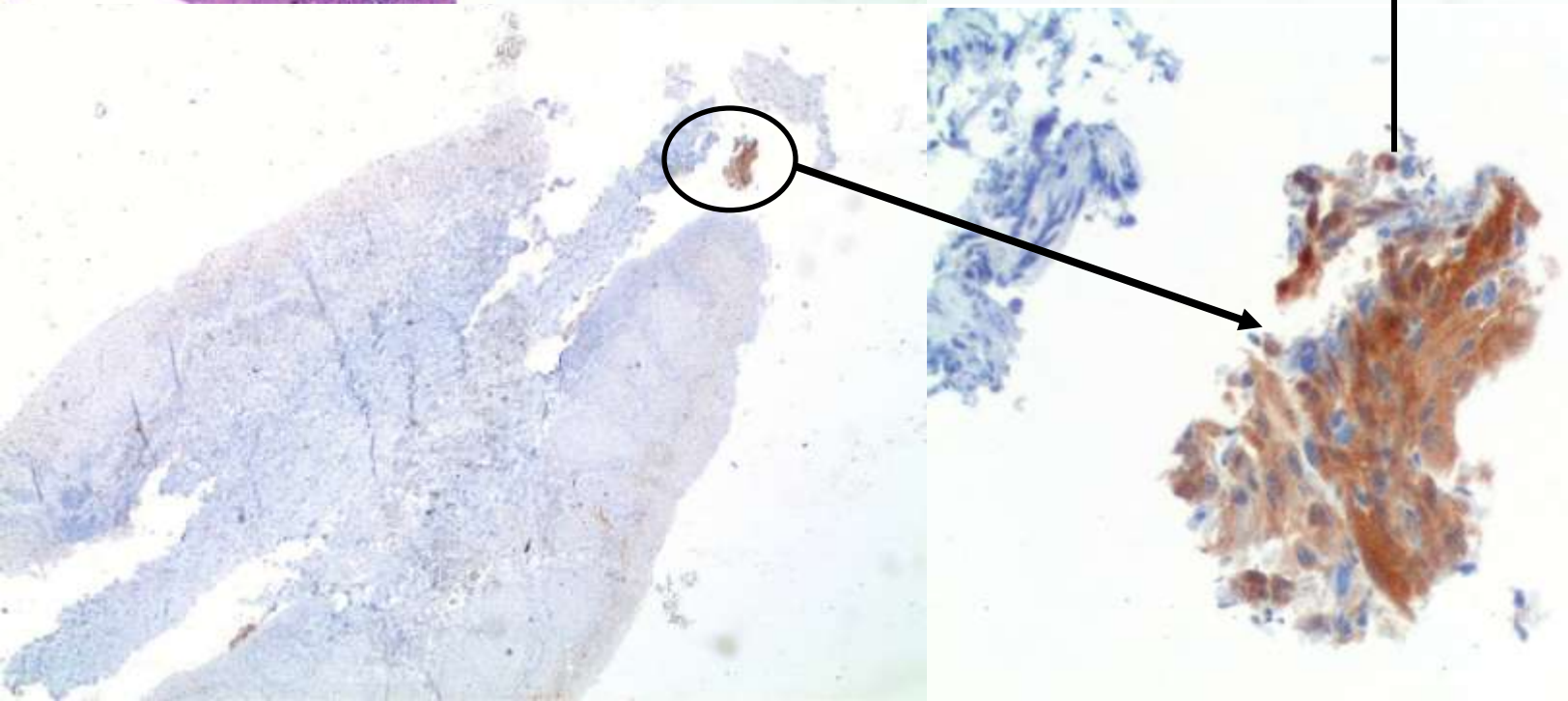
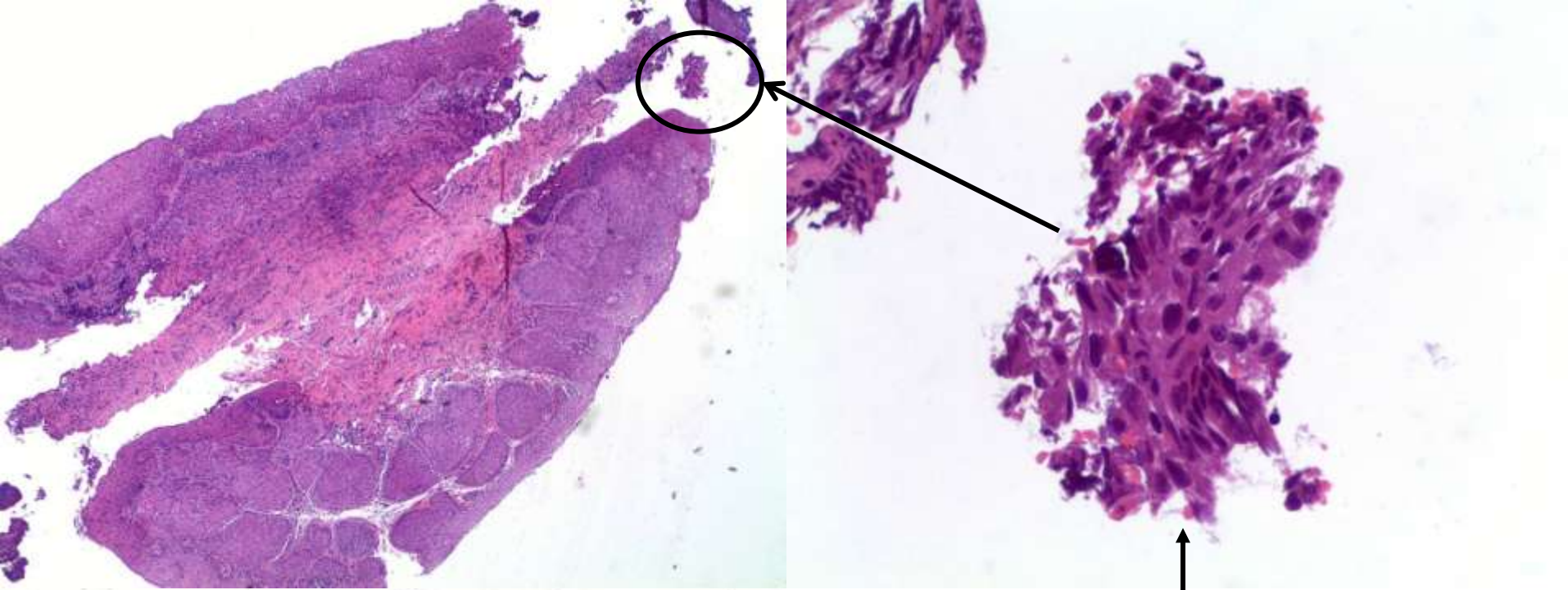
Ordi J, et al. *Int J Gynecol Pathol* 2009; 28:90-97

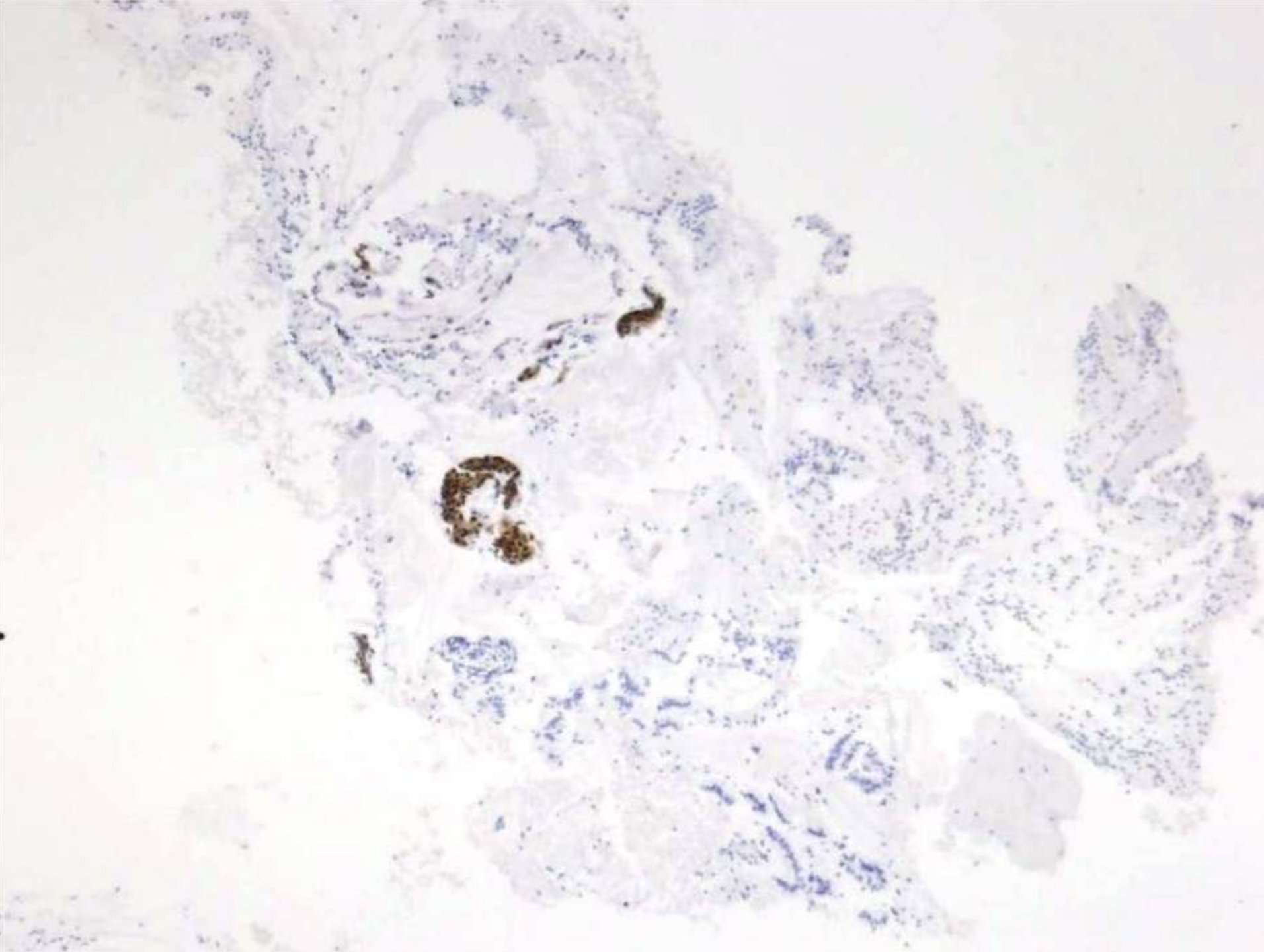








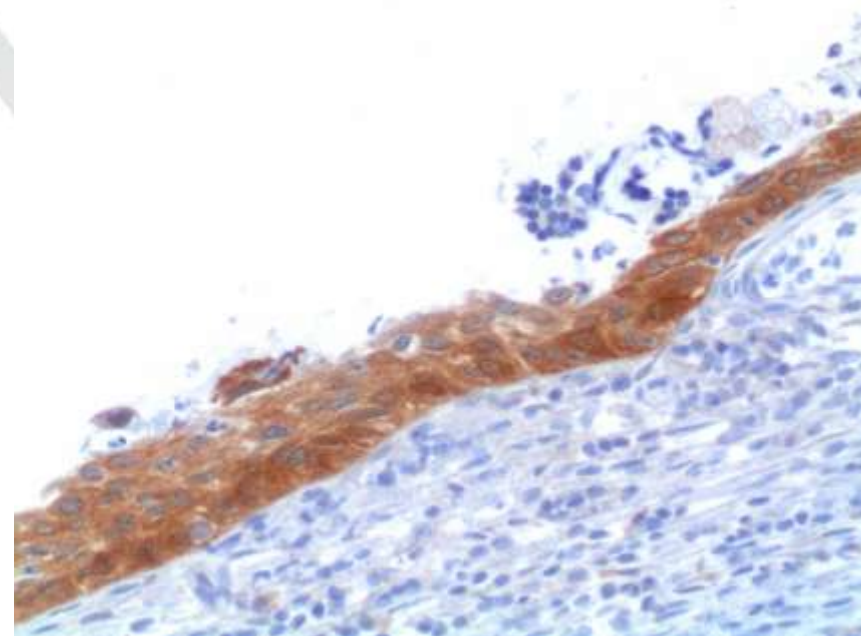






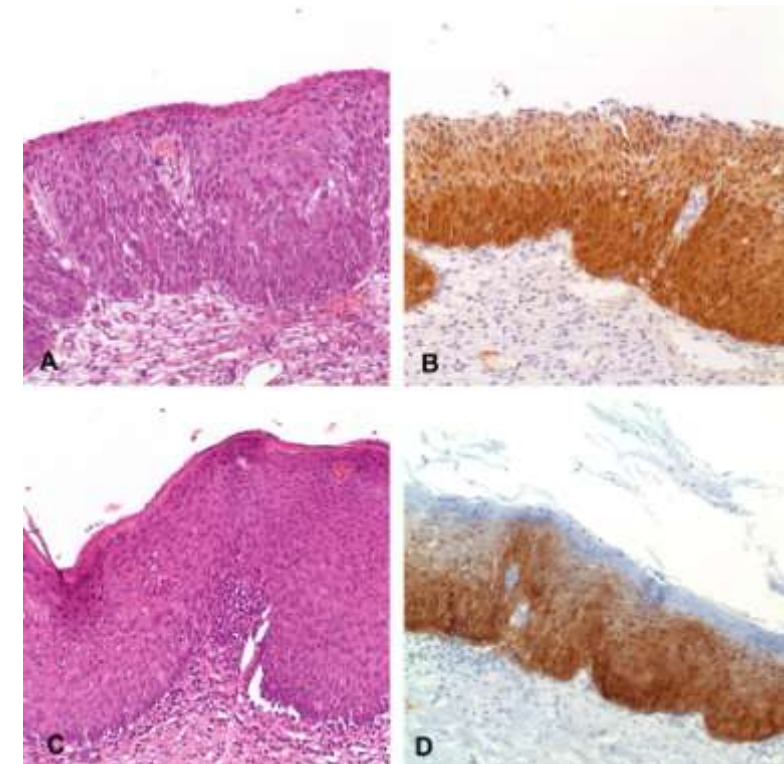
Conclusion

- p16^{INK4a} immunostaining helps to identify a significant number of occult CIN lesions in HPV-positive women



CIN2-3, HC2 negative

- 646 women with a biopsy proven CIN2-3
- 20 (3.1%) with a negative HC2 test for HPV
- All of them positive for p16

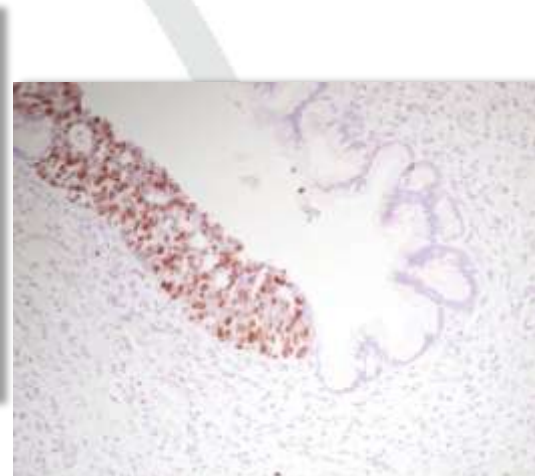


Del Pino M, et al. *Gynecol Oncol*; 2011, in press



Ki67 / p16 in cervical lesions

Diagnosis	p16				Ki-67			
	0	1	2	3	0	1	2	3
CIN1	10/12 (83.3%)	0	1/12 (8.3%)	1/12 (8.3%)	0	7/12 (58.3%)	5/12 (41.7%)	0
CIN2	0	3/6 (50.0%)	1/6 (16.7%)	2/6 (33.3%)	0	1/6 (16.7%)	5/6 (83.3%)	0
CIN3	0	0	0	13/13 (100%)	0	1/12 (8.3%)	5/12 (41.7%)	6/12 (50.0%)
p-value*	<0.001				0.003			



Nam EJ ,et al. *J Gynecol Oncol.* 2008; 19:162



Ki67 / p16 in CIN3+

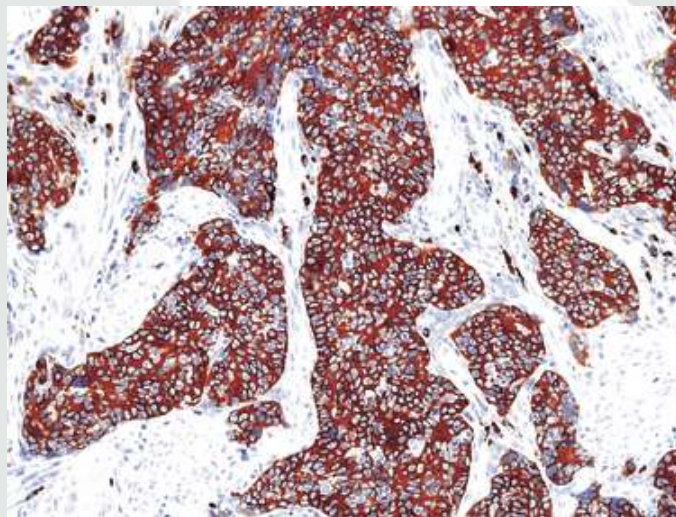
Biomarker	Sensitivity	Specificity
p16	99.2%	74.8%
Ki67	62.1%	94.9%
p16 + Ki67	99.2%	73.9%
HPV L1 antigen	16.5%	84.2%

Galgano MT ,et al. *Am J Surg Pathol* 2010; 34:1077



p16 and nm23

Biomarker	Sensitivity	Specificity
p16	96.3%	66.0%
nm23	81.8%	36.4%



Benevolo M ,et al.
Histopathology 2010; 57:580



p16, MCM2, TOP2A

Biomarker	H-SIL	L-SIL
p16	100%	76%
MCM2	79%	76%
TOP2A	86%	76%

Shih J, et al. *Hum Pathol* 2007; 38: 1335



ProEx C

Study	Sensitivity	Specificity
Shih (<i>Hum Pathol</i> 2007)	79%	28%
Pinto (<i>Mod Pathol</i> 2008)	87%	71%
Badr (<i>Am J Surg Pathol</i> 2008)	92%	80%
Sanati (<i>Int J Gynecol Pathol</i> 2010)	89%	100%



p16 vs. ProEx C

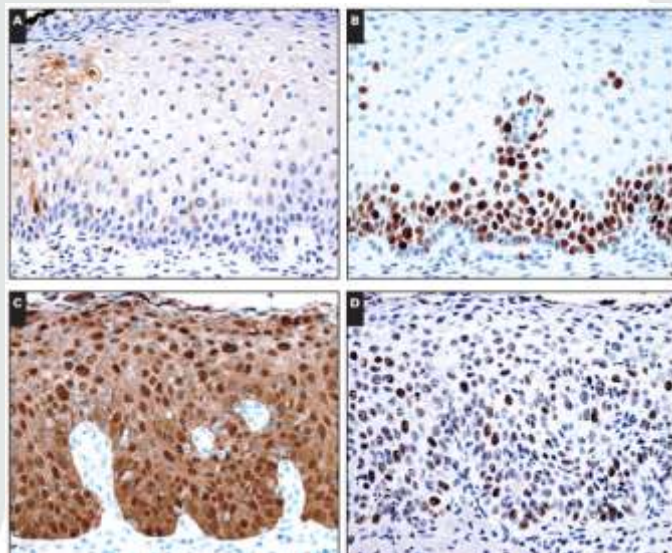
	CIN II/III		
	ProEx C +	p16 Band	Ki67 +
Sensitivity (%)	92	97	89
Specificity (%)	80	90	88
PPV (%)	74	86	82.5
NPV (%)	94	98	93

Badr RE, et al. *Am J Surg Pathol* 2008; 32:899



p16 vs. ProEx C

Biomarker	H-SIL	L-SIL
p16	100%	76%
ProEx C	79%	94%
p16+ProEx C	100%	100%



Shih J, et al. *Hum Pathol* 2007;
38: 1335



p16 vs. ProEx C

Biomarker	Sensitivity	Specificity
p16 (CIN2+)	79%	85%
ProEx C (CIN2+)	67%	85%
p16 (CIN3+)	90%	71%
ProEx C (CIN3+)	84%	79%
p16 + ProEx C (CIN2+)	57%	100%
p16 + ProEx C (CIN3+)	75%	93%

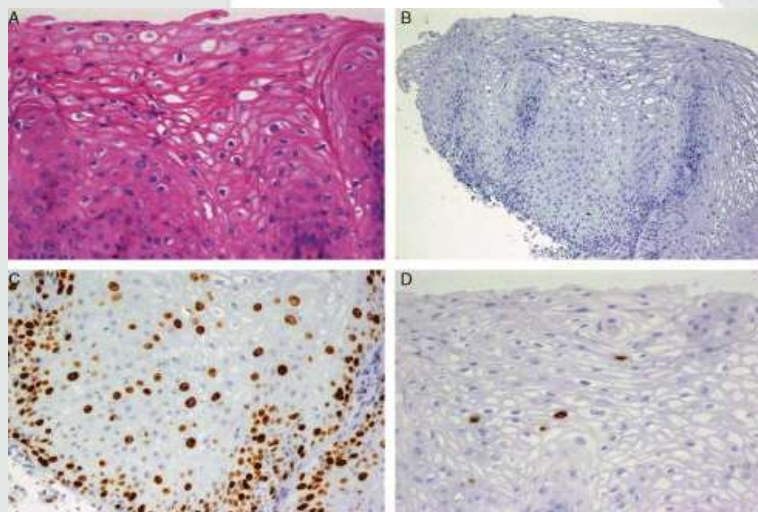
Guo M, et al. *Am J Clin Pathol* 2011; 135:212



p16 vs. ISH HPV

Diagnosis	Ventana HPV VII ISH (%)	Ventana HPV VIII ISH (%)	DakoCytomation ISH (%)	p16 ^{INK4A} (%) Diffuse Strong	p16 ^{INK4A} (%) Focal Strong and Diffuse Strong
HSIL	7/16 (43.8)	11/15 (73.3)	6/15 (40.0)	16/16 (100%)	16/16 (100%)
LSIL	8/12 (66.7)	7/11 (63.6)	9/12 (75.0)	7/12 (58.3)	11/12 (91.7)
Overall SIL	15/28 (53.6)	18/26 (69.2)	15/27 (55.6)	23/28 (82.1)	27/28 (96.4)

Diagnosis	Ventana HPV VIII ISH (%)	DakoCytomation ISH (%)	p16 ^{INK4A} (%) (Diffuse Strong)	p16 ^{INK4A} (%) (Focal Strong and Diffuse Strong)	p16 ^{INK4A} (%) (Diffuse Strong and Focal Strong With ISH +)
Sensitivity	69.2 (18/26)	55.6 (15/27)	82.1 (23/28)	96.4 (27/28)	92.9 (26/28)
Specificity	100 (30/30)	100 (30/30)	100 (30/30)	93.3 (28/30)	100 (30/30)



Kong CS, et al. *Am J Surg Pathol*; 2007; 31: 33



Conclusiones

- p16 es el mejor marcador de lesiones de alto grado
- Reduce de la variación inter e intra- observador en el diagnóstico de CIN2-3
- Mejora de la sensibilidad del patólogo en la identificación de lesiones de CIN2-3
- La combinación con otros marcadores añade probablemente solo una información marginal



¿Podemos identificar lesiones de bajo grado con mayor riesgo de progresión?





P16^{INK4a}: marcador de progresión

91 pacientes con biopsia de CIN1

71% positivas para p16

29% negativas para p16

35% progresión a
CIN2-3

0% progresión

Hariri J et al. *Int J Gynecol Pathol*; 2007; 22(3): 488



P16^{INK4a}: marcador de progresión

- Mujeres con:
 - Biopsia de CIN1
 - Detección de VPH (HC2)
 - **Seguimiento durante al menos 12 meses con citología, colposcopia y VPH**
- 138 mujeres
- **Tinción para p16^{INK4a} en la biopsia**

Del Pino et al. *Am J Obstet Gynecol*; 2009; 201: 488

P16^{INK4a}: marcador de progresión

138 pacientes con biopsia de CIN1

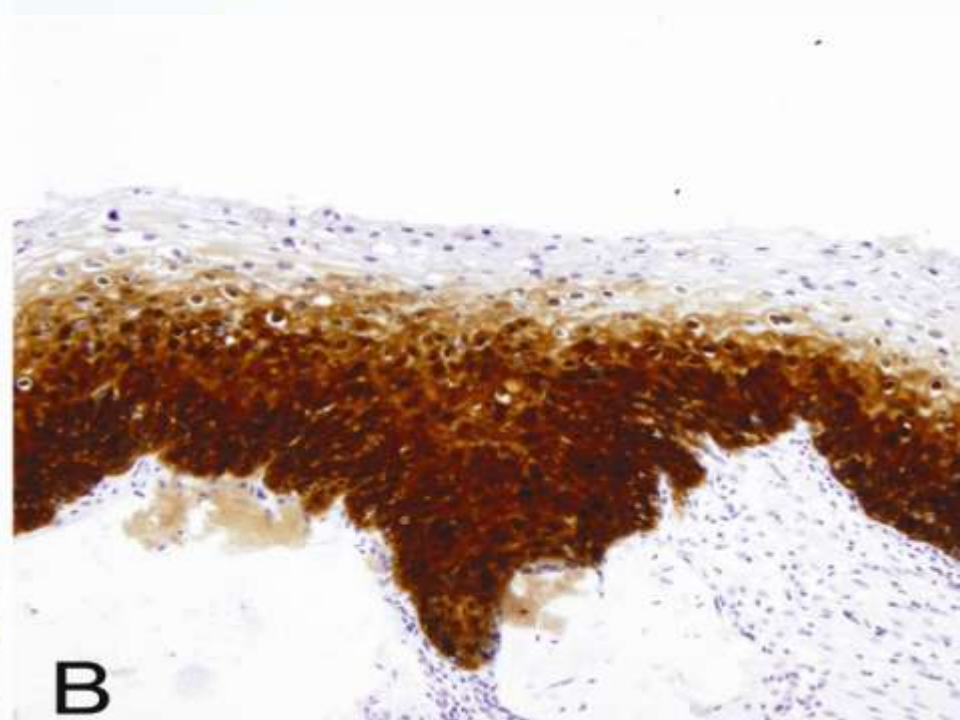
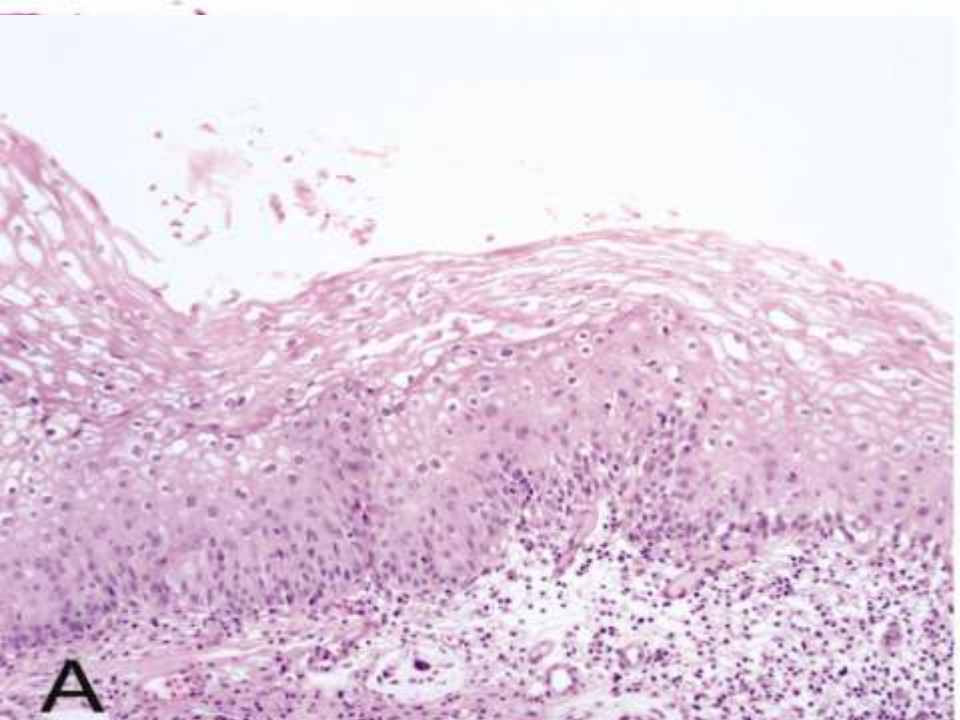
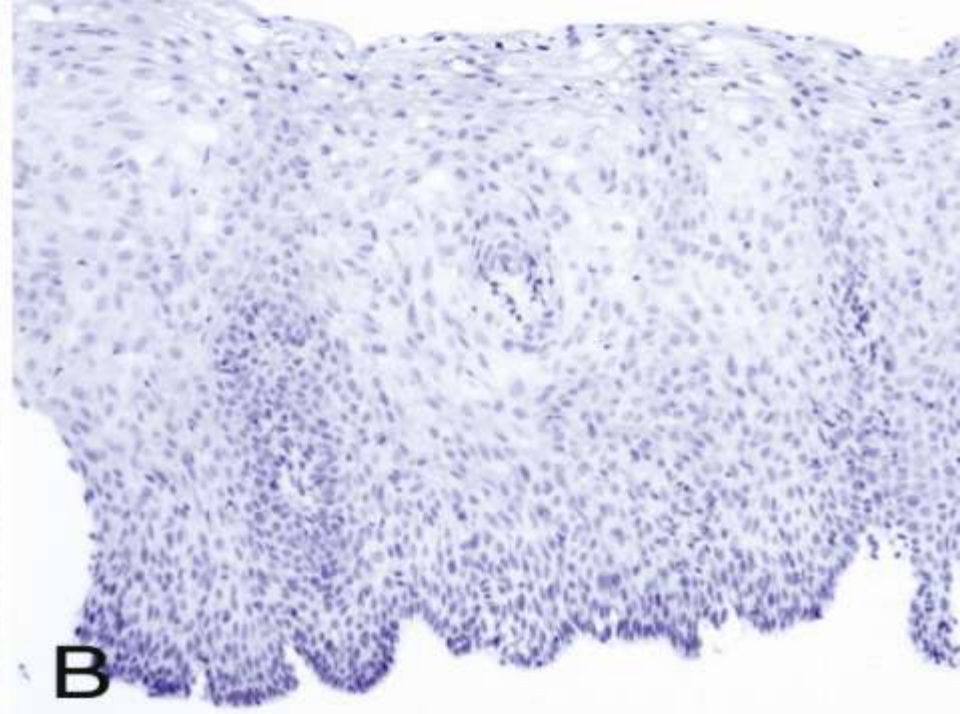
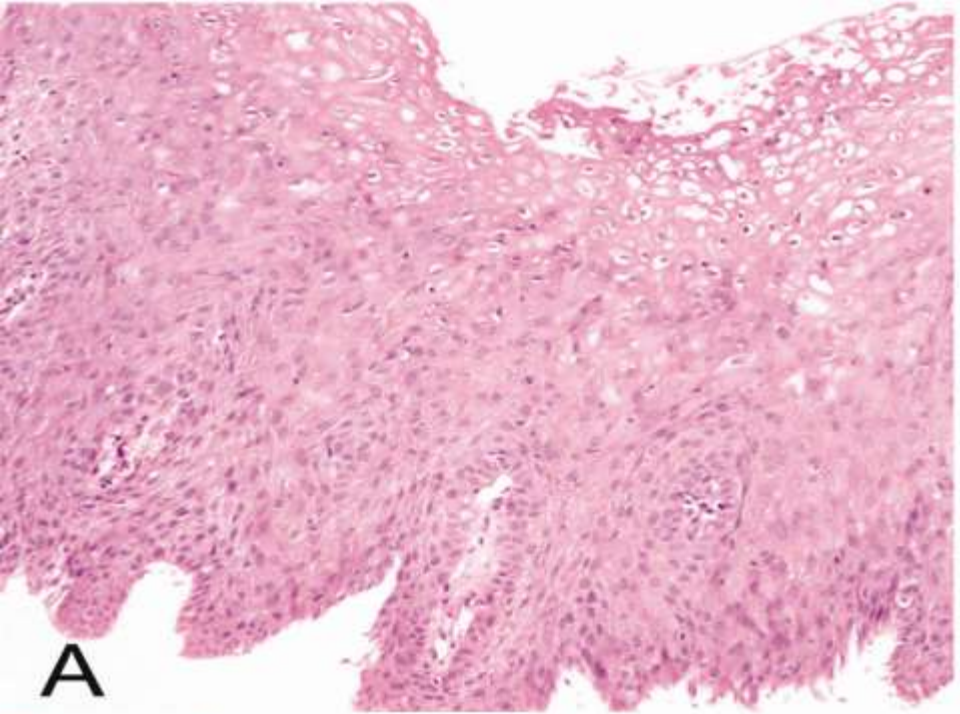
56% positivas para p16

44% negativas para p16

18% progresión a
CIN2-3

0% progresión

Del Pino et al. *Am J Obstet Gynecol*; 2009; 201: 488





Conclusiones

- Las pacientes con lesiones de CIN1 positivas para p16^{INK4a} tienen un riesgo de progresión mas elevado
- Las lesiones de CIN1 negativas para p16^{INK4a} raramente progresan y pueden beneficiarse de un seguimiento clínico menos intensivo



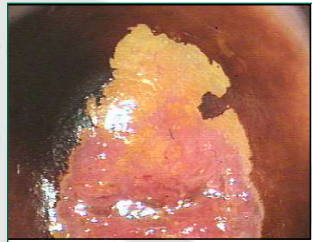
Conclusiones finales

- **Reducción de la variación inter e intra-observador en el diagnóstico de CIN2-3**
- **Mejora de la sensibilidad del patólogo en la identificación de lesiones de CIN2-3**
- Identificación de lesiones de CIN1 con mayor riesgo de progresión



Recomendaciones

- p16^{INK4a} como único marcador
- ¿Cuando?
 - **Escenario maximalista**: en toda biopsia cervical con sospecha clínica de displasia
 - **Escenario realista**: Siempre que existan dudas diagnósticas o discrepancias con el resultado citológico o virológico

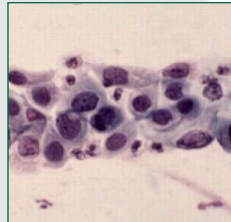


Unidad de Patología Cervical Servicio de Obstetricia y Ginecología

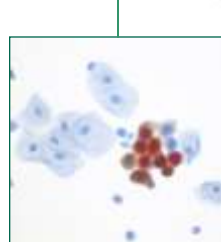
A. Torné M. Cardona
P. Fusté A. Rodríguez
R. Nonell N. Abu-Ligha



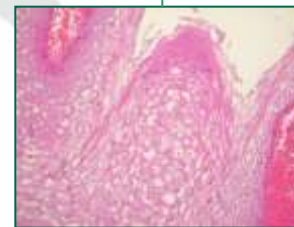
Servicio de Anatomía Patológica



L. Colomo
M. Solé
L. Alòs
M. Cuatrecasas



F. Maderuelo



A. Nadal
J. Ramírez



E. Gonzalvo
M. Tortosa



R. Esteve
T. Cuberes



I. Alonso
M. del Pino
L. Rodríguez
L. Marimón

Diagnóstico histológico
Resultado citológico
Resultado virológico

